

ผลของการตัดแต่งเฟือกบริเวณสันเท้าแบบต่าง ๆ ต่อความแข็งแรงของเฟือกป้อน short leg posterior slab

ดำรงศักดิ์ ฐานกุลศักดิ์ พ.บ., ว.ว.พยาธิวิทยากายวิภาค, ว.ว.ศัลยศาสตร์ออร์โธปิดิกส์*

บทคัดย่อ

วัตถุประสงค์: เพื่อศึกษาความแข็งแรงของ short leg posterior slab แบบยื่นพับมุมสันเท้า แบบตัดพับมุมสันเท้า แบบตัดเรียบเสมอขอบมุมสันเท้า แบบตัดขอบมุมสันเท้าออก และแบบตัดขอบมุมสันเท้าพับไปด้านหลัง โดยเปรียบเทียบแรงที่ทำให้เฟือกป้อนแตกหักในแนวคดคด 3 จุด

วิธีดำเนินการวิจัย: เตรียมเฟือกป้อน short leg posterior slab บนหุ่นจำลองขาเทียม 5 แบบ คือ แบบยื่นพับมุมสันเท้า (กลุ่ม 1) แบบตัดพับมุมสันเท้า (กลุ่ม 2) แบบตัดเรียบเสมอขอบมุมสันเท้า (กลุ่ม 3) แบบตัดขอบมุมสันเท้าออก (กลุ่ม 4) และแบบตัดขอบมุมสันเท้าพับไปด้านหลัง (กลุ่ม 5) แบบละ 20 อัน แต่ละอันจะใช้เฟือกป้อนขนาดหน้ากว้าง 6 นิ้ว ซ่อนทับกัน 10 ชั้น ความยาว 21 นิ้ว ในกลุ่มที่ 1 ขณะเฟือกเปียกน้ำลูบป้อนเฟือกให้เข้ารูปบริเวณสันเท้าใช้วิธีทั่วไปคือแบบยื่นพับมุมบริเวณสันเท้าทั้ง 2 ด้านคือทั้งด้านในและด้านนอก กลุ่ม 2 ขณะเฟือกเปียกน้ำใช้กรรไกรตัดเฟือกตั้งฉากกับสันขอบเฟือกบริเวณสันเท้าถึงมุมสันเท้าทั้ง 2 ด้าน ซ่อนทับพับให้เรียบและลูบป้อนเฟือกให้เข้ารูปบริเวณสันเท้า กลุ่ม 3 ขณะเฟือกเปียกน้ำใช้กรรไกรตัดสันขอบเฟือกส่วนเกินที่พับยื่นออก ตัดเรียบขนานกับสันเท้าทั้ง 2 ด้าน ลูบป้อนเฟือกให้เข้ารูปบริเวณสันเท้า กลุ่ม 4 ขณะเฟือกเปียกน้ำใช้กรรไกรตัดสันขอบเฟือกยาว 6 ซม. ที่มุมด้านข้างสันเท้าออกเสมอขอบใต้สันเท้าทั้งด้านในและด้านนอก ลูบป้อนเฟือกให้เข้ารูปบริเวณสันเท้า กลุ่ม 5 ขณะเฟือกเปียกน้ำใช้กรรไกรตัดสันขอบเฟือกที่มุมสันเท้า 2 แห่ง ในแนวตั้งฉากถึงแนวขอบใต้สันเท้า 1 แห่ง และแนวขอบหลังสันเท้า 1 แห่ง ระยะห่างของแนวตัด 6 ซม. ตัดทั้งด้านในและด้านนอก พับส่วนสันขอบยาว 6 ซม. ทั้ง 2 ด้านไปซ่อนทับเฟือกใต้สันเท้าและหลังสันเท้า ลูบป้อนเฟือกให้เข้ารูปบริเวณสันเท้า เฟือกทุกอันจะเก็บไว้ 3 วันก่อนนำไปทำการวัดความหนาและความสูงของสันขอบเฟือกบริเวณสันเท้าและทำการทดสอบความแข็งแรงของเฟือกในแนวคดคดหักงอ 3 จุดด้วยเครื่องทดสอบแรงกด เพื่อหาแรงที่ทำให้เฟือกป้อนแตกหัก

ผลการวิจัย: เฟือกป้อน short leg posterior slab กลุ่ม 1 แบบยื่นพับมุมสันเท้ามีความหนาของสันขอบมากที่สุด โดยมีความหนาเฉลี่ย 13.5 ± 0.8 มม. ซึ่งมากกว่าแบบอื่นอย่างมีนัยสำคัญทางสถิติ (p -value < 0.001) เฟือกป้อน short leg posterior slab กลุ่ม 2 แบบตัดพับมุมสันเท้ามีความสูงของสันขอบมากที่สุด คือมีความสูงเฉลี่ย 72.1 ± 2.3 มม. และแข็งแรงทนต่อแรงที่ทำให้เฟือกป้อนแตกหักมากที่สุด โดยต้องใช้แรงเฉลี่ย 1200.3 ± 303.8 นิวตัน ซึ่งมากกว่าแบบอื่นอย่างมีนัยสำคัญทางสถิติ (p -value < 0.001)

สรุป: เฟือกป้อน short leg posterior slab แบบตัดพับมุมสันเท้าแข็งแรงทนทานต่อแรงกดถ่วงหักงอได้สูงที่สุด มากกว่าแบบยื่นพับมุมสันเท้าแบบตัดเรียบเสมอขอบมุมสันเท้า แบบตัดขอบมุมสันเท้าออก และแบบตัดขอบมุมสันเท้าพับไปด้านหลัง

* ภาควิชาออร์โธปิดิกส์ คณะแพทยศาสตร์วชิรพยาบาล มหาวิทยาลัยกรุงเทพมหานคร

Abstract

Effects of Various Modified Heel Slab Techniques on the Strength of Short Leg Posterior Slab

Damrong Thapanakulsak MD

Department of Orthopedics, Faculty of Medicine Vajira Hospital, University of Bangkok Metropolis

Objective: To study the strength of short leg posterior slabs done by edge-folded, edge-cut-folded, edge-cut-tangential, edge-cut-off and edged-cut-folded-back heel techniques by comparing the forces causing breakage in 3-point-bending loads.

Methods: Five types of short leg posterior slabs were prepared as the following: short leg posterior slabs with edge-folded heels (group 1), with edge-cut-folded heels (group 2), with edge-cut-tangential heels (group 3), with edge-cut-off heels (group 4), and with edge-cut-folded-back heels (group 5). There were 20 slabs in each group or altogether 100 slabs. Each slab was prepared by molding each gypsum bandage, measuring 6 inches wide x 21 inches long x 10 layers thick, over a short leg model. In group 1, the redundant edges of slabs were folded along the medial and lateral aspects of the heel before molding. In group 2, the redundant edges of slabs were perpendicularly cut and folded along the medial and lateral aspects of the heel before molding. In group 3, the redundant edges of slabs were tangentially cut off along the medial and lateral aspects of the heel before molding. In group 4, the redundant edges of slabs were cut off 6 cm along the medial and lateral aspects of the heel before molding. In group 5, the redundant edges of slabs were perpendicularly cut proximally and distally at 6 cm away from the medial and lateral aspects of the heel and folded back along the heel before molding. Each slab was air-dried for 3 days before its thickness and height of the edges over the heel were measured. The strength of each slab was tested by measuring the forces, generated from the compressing machine, causing breakage in 3-point-bending loads.

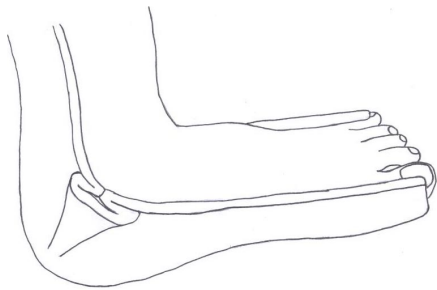
Results: The edge-folded slabs (group 1) had the thickest edge compared to other groups (p-value < 0.001) with mean thickness of 13.5 ± 0.8 mm while the edge-cut-folded slabs (group 2) had the highest edge with mean height of 72.1 ± 2.3 mm (p-value < 0.001). The edge-cut-folded slabs (group 2) were the strongest type with the greatest force causing slab breakage in 3-point-bending loads of 1200.3 ± 300.8 newton (p-value < 0.001).

Conclusion: The strength of short leg posterior slabs with edge-cut-folded heels was the best among the five modified heel slabs.

Keywords: short leg posterior slab, strength, modified heel

บทนำ

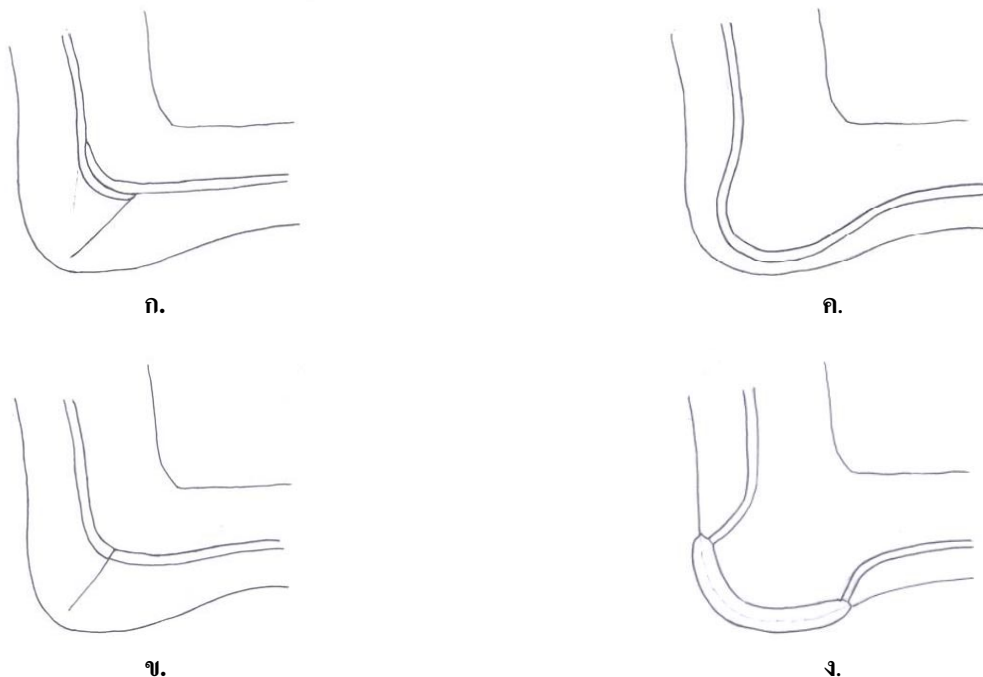
หัตถการทางออร์โธปิดิกส์ชนิดเฝือกปูน short leg posterior slab ใช้ในการรักษาผู้ป่วย ข้อเท้าพลิก กระดูกบริเวณส้นเท้า หรือนิ้วเท้าแตกหัก^{1,2} และในผู้ป่วยหลังผ่าตัดเอ็นหรือกระดูกบริเวณนิ้วเท้า เท้า และข้อเท้า³⁻⁸ เฝือกปูนชนิดนี้จะยาวคลุมปลายนิ้วเท้าของผู้ป่วยอ้อมหลังส้นเท้าถึงใต้ข้อพับหลังเข่า โดยทั่วไปแผ่นเฝือกส่วนที่อ้อมบริเวณหลังส้นเท้าจะต้องพับยื่นขอบให้หุ้มบริเวณส้นเท้าทั้งด้านใน (medial) และด้านนอก (lateral) ทำให้มีส่วนพับยื่นนูนหนาเป็นสันไม่สวยงามดังรูปที่ 1 และขอบสันพับที่หนาอาจกดทับผิวหนังบริเวณส้นเท้าของผู้ป่วยทำให้เกิดแผลกดทับได้⁹



รูปที่ 1 Short leg posterior slab แบบยื่นพับมุมส้นเท้า แสดงส่วนขอบเฝือกที่หุ้มส้นเท้าพับนูนหนาเป็นสัน

ผู้วิจัยมีแนวคิดว่าการใช้กรรไกรตัดแต่งขอบเฝือกที่หุ้มส้นเท้าขณะเฝือกเปียกน้ำในลักษณะต่าง ๆ ก่อนลုပ်ปูนเฝือกให้เข้ารูปบริเวณส้นเท้าเช่น แบบตัดพับมุมส้นเท้า (รูปที่ 2ก) แบบตัดเรียบเสมอขอบมุมส้นเท้า (รูปที่ 2ข) จะทำให้มีสันขอบเฝือกที่หุ้มส้นเท้าเรียบ ไม่เป็นสันพับที่หนา จึงน่าจะลดโอกาสที่สันขอบเฝือกจะกดทับผิวหนังบริเวณข้างส้นเท้าของผู้ป่วยทั้งด้านในและด้านนอก นอกจากนี้ถ้าตัดแต่งเฝือกแบบตัดขอบมุมส้นเท้าออก (รูปที่ 2ค) หรือแบบตัดขอบมุมส้นเท้าซ่อนพับไปด้านหลัง (รูปที่ 2ง) จะทำให้ไม่มีสันขอบเฝือกหุ้มข้างส้นเท้าที่จะไปกดทับผิวหนังบริเวณข้างส้นเท้าทั้งด้านในและด้านนอก ทำให้เฝือกดูสวยงามและในกรณีผู้ป่วยที่ต้องใช้ลวดปักยึดตรึงกระดูก มีลวดปักคาข้างส้นเท้า หรือมีแผลผ่าตัดข้างส้นเท้า จะสามารถให้การดูแลแผลทำความสะอาดหรือลวดที่ปักคาได้สะดวก ไม่มีเฝือกกดทับ นอกจากนี้แบบตัดขอบมุมส้นเท้าซ่อนพับไปด้านหลังจะได้แผ่นเฝือกที่หนาขึ้นใต้ส้นเท้าและหลังส้นเท้าด้วย

การศึกษาของผู้วิจัยในอดีต¹⁰ ที่ทำการศึกษานำร่องกับเฝือกเพียง 2 แบบพบว่า เฝือกปูนชนิด short leg posterior slab แบบตัดพับมุมส้นเท้าแข็งแรงทนทานต่อแรงกดถ่างหักงอได้มากกว่าแบบยื่นพับมุมส้นเท้าทั้งที่มีความหนาของสันขอบบริเวณส้นเท้าน้อยกว่า จึงน่าสนใจว่าการตัดแต่งขอบเฝือกที่หุ้มส้นเท้าใน 4 แบบข้างต้นจะทำให้ความแข็งแรงของเฝือกแตกต่างกันหรือไม่ และแตกต่างจาก



รูปที่ 2 ขอบเฝือกที่หุ้มส้นเท้าภายหลังการตัดแต่งแบบต่าง ๆ ก. แบบตัดพับมุมส้นเท้า แสดงส่วนขอบที่ตัดพับเรียบไม่เป็นสันพับนูนหนา ข. แบบตัดเรียบเสมอขอบมุมส้นเท้า แสดงส่วนขอบที่เรียบไม่เป็นสันพับนูนหนาและไม่มีขอบที่ซ่อนทับกัน ค. แบบตัดขอบมุมส้นเท้าออก ง. แบบตัดขอบมุมส้นเท้าพับไปด้านหลัง

เปลือกแบบยื่นพับมุมสันเท้าที่ให้อยู่เดิมอย่างไร จากการทบทวนวรรณกรรมไม่พบการศึกษาถึงผลของการตัดแต่งขอบเปลือกปุนที่หุ้มสันเท้าในหลายลักษณะข้างต้นต่อความแข็งแรงของเปลือกปุน short leg posterior slab มาก่อน การวิจัยนี้มีวัตถุประสงค์เพื่อศึกษาเปรียบเทียบแรงที่ทำให้เปลือกปุนแตกหักในแนวคดตัด 3 จุดของ short leg posterior slab แบบยื่นพับมุมสันเท้า แบบตัดพับมุมสันเท้า แบบตัดเรียบเสมอบนมุมสันเท้า แบบตัดขอบมุมสันเท้าออก และแบบตัดขอบมุมสันเท้าพับไปด้านหลัง

วิธีดำเนินการวิจัย

การศึกษานี้เป็นการวิจัยเชิงทดลองเพื่อเปรียบเทียบความแข็งแรง รวมทั้งความหนา และความสูงของสันขอบเปลือกปุนบริเวณสันเท้าของเปลือกปุน short leg posterior slab แบบต่าง ๆ 5 แบบ โดยแต่ละแบบจะศึกษาในเปลือกปุนแบบละ 20 อัน

การเตรียมเปลือกปุนชนิด short leg posterior slab ทั้ง 5 แบบ รวมทั้งหมด 100 อัน ใช้เปลือกปุน POP (plaster of Paris) extra-fast ขนาดกว้าง 6 นิ้ว มาซ้อนทับกัน 10 ชั้น ความยาว 21 นิ้ว แขนงที่อุณหภูมิตั้ง 26 องศาเซลเซียส ในอุณหภูมิตั้งโดยจับที่ปลายเปลือกปุนข้างละมือแล้วหย่อนปลายเปลือกข้างขวาลงในอ่างน้ำพร้อม ๆ กับเลื่อนให้ส่วนที่ผ่านน้ำในอ่างเปียกและยกขึ้นเหนือผิวน้ำทันที เรือยไปจนถึงปลายข้างซ้ายที่ถืออยู่ หลังจากนั้นจึงยกปลายที่จุ่มก่อนขึ้นสูงเหนืออ่างน้ำพร้อมกับปล่อยมือซ้ายห้อยแผ่นเปลือกในแนวตั้งเหนืออ่างน้ำ หลังจากนั้นจึงเอานิ้วมือข้างซ้าย ใช้นิ้วชี้ที่เปียกเกินพอลงในอ่าง เพื่อให้เปลือกเปียกน้ำโดยทั่วแต่ไม่แฉะและเรียบเนียนเป็นแผ่นเดียว^{11,12} นำเปลือกไปวางทาบบนหุ่นขาเทียมด้านฝ่าเท้า จากปลายนิ้วเท้า แบบหุ้มสันเท้าแบบหลังน่องถึงใต้เข่า ขณะเปลือกเปียกน้ำ และทำการตัดแต่งเปลือกบริเวณสันเท้าต่าง ๆ กัน 5 แบบดังนี้

กลุ่ม 1 แบบยื่นพับมุมสันเท้า พับสันขอบส่วนเกินบริเวณสันเท้าทั้งด้านในและด้านนอก ซ้อนทับพับขึ้น และลูบป้อนเปลือกให้เข้ารูป (รูปที่ 1)

กลุ่ม 2 แบบตัดพับมุมสันเท้า ใช้กรรไกรตัดแนวตั้งฉากกับสันขอบที่เกินบริเวณสันเท้าตัดถึงมุมสันเท้าของสันขอบด้านในและด้านนอก ด้านละ 1 แห่ง และซ้อนพับให้เรียบสม่ำเสมอ แนบข้างสันเท้า¹³ และลูบป้อนเปลือกให้เข้ารูป (รูปที่ 2ก)

กลุ่ม 3 แบบตัดเรียบเสมอบนมุมสันเท้า ใช้กรรไกรตัดสันขอบส่วนเกินที่พับขึ้นออก ตัดเรียบขนานกับข้างสันเท้าของทั้งสันขอบด้านในและด้านนอก ด้านละ 1 แห่งและลูบป้อนเปลือก

ให้เรียบแนบข้างสันเท้า (รูปที่ 2ข)

กลุ่ม 4 แบบตัดขอบมุมสันเท้าออก ใช้กรรไกรตัดสันขอบเปลือกยาว 6 ซม. ที่หุ้มด้านข้างสันเท้าออกเสมอบนใต้สันเท้าของทั้งสันขอบด้านในและด้านนอก (รูปที่ 2ค)

กลุ่ม 5 แบบตัดขอบมุมสันเท้าซ้อนพับไปด้านหลัง ใช้กรรไกรตัดสันขอบเปลือกที่หุ้มสันเท้า 2 แห่งในแนวตั้งฉากถึงแนวขอบใต้สันเท้า 1 แห่ง และแนวขอบหลังสันเท้า 1 แห่ง ระยะห่างของแนวตัดที่ 6 ซม. ตัดทั้งสันขอบด้านในและด้านนอก พับส่วนสันขอบ 6 ซม. ทั้ง 2 ด้านไปซ้อนทับแผ่นเปลือกใต้สันเท้าและหลังสันเท้า (รูปที่ 2ง)

เปลือกแต่ละอันจะเปลี่ยนน้ำทุกครั้งที่ใช้เปลือก และเมื่อลูบป้อนเปลือกให้เข้ารูป พักรอให้เปลือกเริ่มร้อน และรอให้เปลือกแข็งเย็น 5 นาที จึงนำเปลือกปุนออกจากหุ่นขาเทียมมาเก็บไว้ที่อุณหภูมิห้องอีก 3 วันให้เปลือกแห้งแข็งดี แล้วนำไปวัดความหนาและความสูงของสันขอบเปลือกบริเวณสันเท้าและนำไปทดสอบแรงกดต่อไป

การวัดความหนาและความสูงของสันขอบเปลือกบริเวณสันเท้า เนื่องจากเปลือกแต่ละอันจะมีสันขอบเปลือกบริเวณสันเท้า 2 ด้านคือด้านในและด้านนอก ผู้วิจัยใช้ vernier caliper วัดความหนาของสันขอบเปลือกส่วนที่หนาสุดบริเวณสันเท้าและวัดความสูงของสันขอบเปลือกส่วนที่ยาวสุดจากมุมสันเท้าของสันขอบทั้ง 2 ด้านในเปลือกแต่ละอัน และคำนวณหาค่าเฉลี่ยของทั้ง 2 สันขอบด้านในและด้านนอก เป็นค่าความหนาและความสูงของสันขอบเปลือกบริเวณสันเท้าของเปลือกแต่ละอัน หน่วยเป็นมิลลิเมตร

การทดสอบความแข็งแรงของเปลือกในแนวคดตัดหักงอ 3 จุด ทดสอบด้วยเครื่องทดสอบแรงกด Shimadzu รุ่น UH-F500KNI ของกรมวิทยาศาสตร์บริการ กระทรวงวิทยาศาสตร์และเทคโนโลยีตั้งรูปที่ 3 ที่อุณหภูมิตั้ง โดยเพิ่มแรงทดสอบ 5 นิวตัน



รูปที่ 3 การทดสอบแรงกดในแนวคดตัดหักงอ 3 จุด

ต่อวินาที กดลงที่บริเวณมุมสันเท้าของเฝือกในแนวแรงกิริยา เพื่อหาแรงที่ทำให้เฝือกปูนแตกหัก แรงที่ทำให้เฝือกปูนแตกหัก คือค่าแรงสูงสุดที่กระทำต่อเฝือกปูนจนแตกหักถึงจุด ultimate strength เนื่องจากเฝือกปูนเป็นวัสดุเปราะจะไม่มีจุดคราก (yield point) คือ ความเค้นจุดคราก (yield strength) ชัดเจน^{14,15} โดยสังเกตจากเส้นกราฟแสดงเส้นโค้งความเค้น-ความเครียด (stress-strain curve) แสดงค่าแรงสูงสุดก่อนลดลง¹⁶ หรือจุดที่เห็นเฝือกแตกหัก หน่วยเป็นนิวตัน

การวิเคราะห์ข้อมูลใช้โปรแกรมสำเร็จรูป SPSS version 11.5 รายงานเป็นค่าเฉลี่ย ค่าเบี่ยงเบนมาตรฐาน และค่าความเชื่อมั่นร้อยละ 95 (95% confidence interval) เปรียบเทียบความแตกต่างของขนาดแรงที่ทำให้เฝือกแตกหัก ความหนาและความสูงของสันขอบเฝือกบริเวณสันเท้าของทั้ง 5 กลุ่มด้วย ANOVA และ Tamhane's post hoc tests โดยกำหนดนัยสำคัญทางสถิติที่ระดับ 0.05

ผลการวิจัย

เฝือกปูน short leg posterior slab แบบยื่นพับมุมสันเท้า (กลุ่ม 1) มีความหนาของสันขอบมากที่สุด 13.5 ± 0.8 มม. แบบตัดพับมุมสันเท้า (กลุ่ม 2) มีความสูงของสันขอบมากที่สุด 72.1 ± 2.3 มม. ดังตารางที่ 1 และแบบตัดพับมุมสันเท้า (กลุ่ม 2) แข็งแรงทนต่อแรงที่ทำให้เฝือกแตกหักมากที่สุดซึ่งทนแรงได้ถึง 1200.3 ± 303.8 นิวตัน ดังตารางที่ 2

การเปรียบเทียบทางสถิติระหว่างกลุ่ม พบว่าความหนาของสันขอบกลุ่ม 1 หนากว่ากลุ่ม 2 และ 3 ตามลำดับอย่างมีนัยสำคัญทางสถิติ (p-value < 0.001) กลุ่ม 4 และ 5 ไม่มีสันขอบ ความสูงของสันขอบกลุ่ม 2 สูงกว่ากลุ่ม 3 (p-value 0.021) และ 1 (p-value < 0.001) ตามลำดับอย่างมีนัยสำคัญทางสถิติ แรงที่ทำให้เฝือกแตกหักกลุ่ม 2 มากกว่ากลุ่ม 1 (p-value < 0.001) มากกว่ากลุ่ม 3 (p-value < 0.001), มากกว่ากลุ่ม 4

ตารางที่ 1 ความหนาและความสูงของสันขอบของเฝือกปูน short leg posterior slab

กลุ่มเฝือกปูน	ความหนาของสันขอบ (มม.)			ความสูงของสันขอบ (มม.)		
	ค่าเฉลี่ย ± ค่าเบี่ยงเบนมาตรฐาน	ร้อยละ ^a เพิ่ม(+)/ลด(-)	p-value	ค่าเฉลี่ย ± ค่าเบี่ยงเบนมาตรฐาน	ร้อยละ ^a เพิ่ม(+)/ลด(-)	p-value
กลุ่ม 1 (n = 20) แบบยื่นพับมุมสันเท้า	13.5 ± 0.8	-	-	65.4 ± 3.0	-	-
กลุ่ม 2 (n = 20) แบบตัดพับมุมสันเท้า	9.5 ± 0.8	-29.6	<0.001 ^a	72.1 ± 2.3	+10.2	<0.001 ^a
กลุ่ม 3 (n = 20) แบบตัดเรียบ เสมอบนมุมสันเท้า	7.4 ± 0.6	-45.2	<0.001 ^a <0.001 ^b	70.0 ± 1.8	+7.0	<0.001 ^a 0.021 ^b
กลุ่ม 4 (n = 20) แบบตัดขอบ มุมสันเท้าออก	0	-100	<0.001 ^a <0.001 ^b <0.001 ^c	0	-100	<0.001 ^a <0.001 ^b <0.001 ^c
กลุ่ม 5 (n = 20) แบบตัดขอบ มุมสันเท้า พับไปด้านหลัง	0	-100	<0.001 ^a <0.001 ^b <0.001 ^c 1.000 ^d	0	-100	<0.001 ^a <0.001 ^b <0.001 ^c 1.000 ^d

^a เปรียบเทียบกับกลุ่ม 1, ^b เปรียบเทียบกับกลุ่ม 2, ^c เปรียบเทียบกับกลุ่ม 3, ^d เปรียบเทียบกับกลุ่ม 4

ตารางที่ 2 แรงที่ทำให้เฝือกปูน short leg posterior slab กลุ่มต่าง ๆ แดกหัก

กลุ่มเฝือกปูน	แรงที่ทำให้เฝือกแตกหัก (นิวตัน)			
	ค่าเฉลี่ย \pm ค่าเบี่ยงเบนมาตรฐาน	95% CI	ร้อยละ ^a เพิ่ม(+)/ลด(-)	p-value
กลุ่ม 1 (n = 20) แบบยื่นพับมุมสันเท้า	727.0 \pm 145.7	658.8-795.2	0	-
กลุ่ม 2 (n = 20) แบบตัดพับมุมสันเท้า	1,200.3 \pm 303.8	1,058.1-1,342.4	+65.1	<0.001 ^a
กลุ่ม 3 (n = 20) แบบตัดเรียบเสมอกขอบมุมสันเท้า	514.5 \pm 75.8	479.0-550.0	-29.2	<0.001 ^a <0.001 ^b
กลุ่ม 4 (n = 20) แบบตัดขอบ มุมสันเท้าออก	231.5 \pm 62.8	202.1-260.9	-68.2	<0.001 ^a <0.001 ^b <0.001 ^c
กลุ่ม 5 (n = 20) แบบตัดขอบ มุมสันเท้า พับไปด้านหลัง	109.0 \pm 26.9	177.4-202.6	-85.0	<0.001 ^a <0.001 ^b <0.001 ^c 0.110 ^d

^a เปรียบเทียบกับกลุ่ม 1, ^b เปรียบเทียบกับกลุ่ม 2, ^c เปรียบเทียบกับกลุ่ม 3, ^d เปรียบเทียบกับกลุ่ม 4
95% CI = 95% confidence interval

(p-value < 0.001) และ มากกว่ากลุ่ม 5 (p-value < 0.001) ตามลำดับอย่างมีนัยสำคัญทางสถิติ แรงที่ทำให้เฝือกแตกหักกลุ่ม 1, 2 และ 3 (มีสันขอบ) มากกว่ากลุ่ม 4 และ 5 (ไม่มีสันขอบ) อย่างมีนัยสำคัญทางสถิติ (p-value < 0.001) แรงที่ทำให้เฝือกแตกหักกลุ่ม 4 และ 5 แตกต่างกันอย่างไม่มีนัยสำคัญทางสถิติ (p-value = 0.110)

วิจารณ์

บริเวณส่วนพับงอหุ้มรอบสันเท้าของเฝือกปูนชนิด short leg posterior slab เป็นจุดที่มักพบปัญหาในการติดตามการรักษา ผู้ป่วยได้บ่อย เช่น เฝือกปูนแตกหักบริเวณส่วนพับงอหุ้มรอบสันเท้า ทำให้ต้องทำเฝือกปูนอันใหม่ เสียค่าใช้จ่ายเพิ่มขึ้น ผลการรักษาไม่ดี หรือพบว่าบริเวณส่วนพับงอหุ้มรอบสันเท้ามีรอยพับขึ้นเป็นสันหยักหนา

กดทับผิวหนังผู้ป่วยเป็นรอย และอาจเป็นแผลกดทับบริเวณสันเท้า แทรกซ้อนได้

การศึกษานี้ผู้วิจัยได้ใช้กรรไกรตัดแต่งสันขอบเฝือกบริเวณสันเท้าทั้ง 2 ด้าน ใน 4 ลักษณะ (กลุ่ม 2-กลุ่ม 5) ก่อนลုပ်ขึ้นเฝือกให้เข้ารูป ซึ่งการตัดแต่งสันขอบเฝือกทั้ง 4 ลักษณะเป็นการตัดแต่งเฝือกปูนที่ไม่ยุ่งยาก ใช้อุปกรณ์คือกรรไกรตัดเฝือก ซึ่งเป็นอุปกรณ์พื้นฐานที่มีประจำห้องเฝือก ใช้เวลาเพิ่มขึ้นเล็กน้อย ซึ่งเฝือกทั้ง 4 แบบนี้มีสันขอบที่หุ้มรอบสันเท้าเรียบ บางลง หรือไม่มีสันขอบเลย แตกต่างจากแบบยื่นพับมุมสันเท้า (กลุ่ม 1) ที่ทำอยู่

ผลการวิจัยพบว่าเฝือกปูน short leg posterior slab กลุ่ม 2 แบบตัดพับมุมสันเท้าแข็งแรงทนต่อแรงกดตัดแตกหักได้สูงที่สุด โดยทนต่อแรงได้มากกว่าแบบเดิม (กลุ่ม 1) ร้อยละ 65.1 มีสันขอบเฝือกบริเวณสันเท้าเรียบบางลงร้อยละ 29.6 และสันขอบสูงขึ้นร้อยละ 10.2 ซึ่งการที่สันขอบเฝือกบริเวณสันเท้าถูกตัดตั้งฉากถึงมุมสันเท้าและซ่อนทับพับจนเรียบ ไม่เป็นรอยพับหยักหนา ทำให้การ

ลูปสั้นเพื่อขณะเปลือกเปียกน้ำ ผลึกปูนพลาสติกจะประสานเชื่อมต่อนี้เป็นเนื้อแผ่นเรียบเดียวกัน แผ่นเรียบบางลง สันขอบเปลือกจึงสูงขึ้น หลังจากเปลือกปูนแข็งตัวจะได้เปลือกปูนที่แข็งแรงทนทานต่อแรงดัดงอมากกว่าแบบย่นพับมุมสันเท้า ซึ่งการพับหักย่นผลึกปูนพลาสติกจะไม่ประสานเชื่อมต่อนี้เป็นเนื้อแผ่นเรียบเดียวกันแต่เป็นสันขอบหักหนา กระจุกตัวแทน ผลการวิจัยส่วนนี้ไปในทิศทางเดียวกันกับงานวิจัยเดิมในอดีต¹⁰ ที่ทำในกลุ่มตัวอย่างที่น้อยกว่าคือกลุ่มละ 5 อัน และพบว่าเปลือกปูน short leg posterior slab แบบตัดพับมุมสันเท้าทนต่อแรงที่ทำให้เปลือกแตกหักที่ 1,680 นิวตัน มากกว่าแบบย่นพับมุมสันเท้าที่ทนต่อแรงที่ 655 นิวตัน เพิ่มขึ้นร้อยละ 156.5 ความหนาของสันขอบแบบตัดพับมุมสันเท้าคือ 10.2 มม. บางลงกว่าแบบย่นพับมุมสันเท้าคือ 15.1 มม. ร้อยละ 32.5 แต่การศึกษาดังกล่าวไม่ได้ศึกษาความสูงของสันขอบ จะเห็นว่าผลการวิจัยที่ได้ในการศึกษานี้ การที่สันขอบเปลือกบริเวณสันเท้าเรียบบางลงร้อยละ 29.6 และสันขอบเปลือกสูงขึ้นร้อยละ 10.2 ในขณะที่ช่างกับผู้ป่วยแรงกดทับที่เปลือกกระทำต่อผิวหนังบริเวณข้างสันเท้าทั้งด้านในและนอกน่าจะลดลงตามหลักกลศาสตร์เนื่องจากพื้นที่ผิวสัมผัสระหว่างเปลือกกับผิวหนังที่เพิ่มขึ้นตามความสูงที่เพิ่ม แรงกดกระจายตัวสม่ำเสมอเนื่องจากสันขอบเปลือกเรียบสัมผัสกับผิวหนังเรียบสนิท น่าจะลดปัญหาสันขอบนูนพับหักย่น กดทับผิวหนังเป็นหย่อม ๆ

เปลือกปูน short leg posterior slab กลุ่ม 3 แบบตัดเรียบเสมอกับมุมสันเท้าแข็งแรงทนต่อแรงกดคดคดแตกหักลดลงจากแบบเดิม (กลุ่ม 1) ร้อยละ 29.2 มีสันขอบเปลือกบริเวณสันเท้าเรียบบางลงร้อยละ 45.2 และสันขอบสูงขึ้นร้อยละ 7.0 พบว่าการใช้กรรไกรตัดสันขอบเปลือกส่วนเกินที่พับยื่นออก ตัดเรียบขนานกับสันเท้าทั้งด้านในและด้านนอกและลูปสั้นเปลือกให้เรียบแบบข้างสันเท้าสันขอบมุมสันเท้าที่เหลือจะตะขิดเรียบเสมอกัน ถึงแม้ว่าจะทำการลูปสั้นเปลือกขณะเปลือกเปียกน้ำให้ผลึกปูนพลาสติกประสานเชื่อมต่อนี้เป็นเนื้อแผ่นเรียบเดียวกัน แต่ผิวสัมผัสของผลึกปูนพลาสติกจะน้อยกว่าแบบย่นพับมุมสันเท้า เปลือกจึงแข็งแรงทนต่อแรงกดคดคดแตกหักลดลง การที่สันขอบเปลือกบริเวณสันเท้าเรียบบางลงร้อยละ 45.2 สันขอบสูงขึ้นร้อยละ 7.0 ก็น่าจะลดแรงกดทับที่เปลือกกระทำต่อผิวหนังบริเวณข้างสันเท้าของผู้ป่วย

เปลือกปูน short leg posterior slab กลุ่ม 4 แบบตัดขอบมุมสันเท้าออก และกลุ่ม 5 แบบตัดขอบมุมสันเท้าพับไปด้านหลัง แม้ว่าไม่มีข้อดีคือไม่มีสันขอบเปลือกบริเวณสันเท้าที่จะไปกดทับผิวหนังบริเวณข้างสันเท้าของผู้ป่วย แต่เปลือกทั้งกลุ่ม 4 และกลุ่ม 5 แข็งแรงทนต่อแรงกดคดคดแตกหักลดลงจากแบบเดิม (กลุ่ม 1) ร้อยละ 68.2 และร้อยละ 85.0 ตามลำดับ ซึ่งลดลงอย่างมีนัย-

สำคัญทางสถิติเทียบกับกลุ่มที่มีสันขอบเปลือกบริเวณสันเท้า (กลุ่ม 1, 2 และ 3) พบว่าสันขอบเปลือกบริเวณสันเท้าทั้ง 2 ด้านของเปลือกปูน short leg posterior slab ในกลุ่ม 1, 2 และ 3 มีลักษณะหน้าตัดขวางเป็นรูปตัว U ทำให้แข็งแรงทนทานต่อแรงกดคดคดแตกหักได้สูงกว่าแบบไม่มีสันขอบในกลุ่ม 4 ซึ่งมีลักษณะหน้าตัดขวางเป็นรูปสี่เหลี่ยมผืนผ้า แบบ ๆ และในกลุ่ม 5 ซึ่งมีลักษณะหน้าตัดขวางเป็นรูปตัว C กว่า¹⁷ การที่สันขอบเปลือกบริเวณสันเท้ามีลักษณะหน้าตัดขวางเป็นรูปตัว U (กลุ่ม 1, 2 และ 3) ทำให้มีพื้นที่หน้าตัดที่มากกว่า จึงทนแรงกระทำได้มากกว่า ทำให้แข็งแรงกว่าตามหลักกลศาสตร์ที่ว่าแรงภายนอกกระทำต่อวัสดุเกิดแรงต้านภายในกระจายตลอดพื้นที่หน้าตัดของวัสดุ^{17,18}

ความแข็งแรงของวัสดุคือ ความสามารถในการต้านทานความเค้นสูงสุดที่วัสดุทนได้ก่อนการแตกหักในทางวิศวกรรม¹⁴ ในการทดสอบความแข็งแรงของเปลือกปูน short leg posterior slab ผู้วิจัยใช้การทดสอบวัสดุแบบทำลาย¹⁸ ในแนวกดคดคดหักงอ 3 จุด เพื่อหาค่าแรงสูงสุดที่ทำให้เปลือกแตกหักบริเวณสันเท้า เสมือนการแตกหักจริงด้วยเครื่องทดสอบแรงกดในลักษณะแรงที่อยู่นิ่ง โดยเพิ่มขนาดแรงทดสอบ 5 นิวตันต่อวินาที กดลงที่บริเวณมุมสันเท้าของเปลือกในแนวแรงกิริยา ปลายเปลือกทั้ง 2 ด้านที่วางคว่ำบนแท่นรองจะเกิดแนวแรงปฏิกิริยา 2 แรง กระทำการคดให้เปลือกแตกหักซึ่งค่าแรงกิริยาที่วัดได้ที่บริเวณมุมสันเท้าจะเท่ากับผลรวมของแรงปฏิกิริยา 2 แรง ที่กระทำที่ปลายเปลือกทั้ง 2 ด้าน เสมือนเวลาใช้งานจริงขณะที่ผู้ป่วยยืนแบบไม่ลงน้ำหนักขาข้างที่ใส่เปลือกหรือนั่งห้อยขาน้ำหนักเท้าและปลายเท้าข้างที่บาดเจ็บจะดันบริเวณปลายเปลือกให้ถ่างออกหรือขณะที่ผู้ป่วยเกร็งหดกล้ามเนื้อองก็จะเกิดแรงกดปลายเท้าลงดันเปลือกให้ถ่างออก ส่วนต้นเปลือกบริเวณองก็มีแรงต้านเกิดขึ้นอยู่ด้านหลังต้นเปลือกให้ถ่างออก ทำให้เปลือกแตกหักบริเวณรอยพับงอที่สันเท้าได้บ่อยในลักษณะแนวแรงกระทำคด 3 จุด (three point loading) คือกดคดที่ปลายเปลือก 1 จุด ที่ต้นเปลือก 1 จุด และสันเท้า 1 จุด^{10,19}

การศึกษาทางกลศาสตร์พบว่าในคนน้ำหนักตัว 65 กก. ขณะยืนแบบไม่ลงน้ำหนักขาหรือนั่งห้อยขาจะมีแรงกดในข้อเท้า 20.3 นิวตัน ขณะเดินจะมีแรงกดในข้อเท้า 358 นิวตัน มีแรงดึงใน Achilles tendon 254 นิวตัน ขณะวิ่งจะมีแรงกดในข้อเท้า 845 นิวตัน มีแรงดึงใน Achilles tendon 501 นิวตัน ขณะกระโดดที่ความเร็ว 3.4 เมตรต่อวินาที มีแรงปฏิกิริยาต่อพื้น (vertical ground reaction force) 1,105 นิวตัน¹⁹

เมื่อนำมาเปรียบเทียบกับค่าแรงที่ทำให้เปลือกปูนแตกหักที่ได้จากการวิจัยพบว่าเปลือกปูน short leg posterior slab กลุ่ม 2 แบบตัดพับมุมสันเท้าทำให้เปลือกปูนแข็งแรงทนทานต่อแรงกดคด

แตกหักได้เฉลี่ย 1200.3 ± 303.8 นิวตัน ซึ่งถึงระดับที่คนน้ำหนักตัว 65 กก. กระโดด เข็อกปูน short leg posterior slab กลุ่ม 1 แบบยื่นพับมุมสันเท้าที่โซ่อยู่เดิม และกลุ่ม 3 แบบตัดเรียบเสมอขอบมุมสันเท้าแข็งแรงทนต่อแรงกดตัดแตกหักได้เฉลี่ย 727.0 ± 145.7 และ 514.5 ± 75.8 นิวตัน ตามลำดับ คือในระดับที่คนน้ำหนักตัว 65 กก. เดิน เข็อกปูน short leg posterior slab กลุ่ม 4 แบบตัดขอบมุมสันเท้าออกและกลุ่ม 5 แบบตัดขอบมุมสันเท้าพับไปด้านหลังแข็งแรงทนต่อแรงกดตัดแตกหักได้เฉลี่ย 231.5 ± 62.8 และ 109.0 ± 26.9 นิวตัน ตามลำดับ คือในระดับที่คนน้ำหนักตัว 65 กก. ยืนแบบไม่ลงน้ำหนักขาหรือนั่งห้อยขา จะเห็นว่าการตัดแต่งขอบเข็อกที่หุ้มสันเท้าตามแนวคิดของผู้วิจัยในแบบตัดพับมุมสันเท้า ทำให้เข็อกปูนแข็งแรงขึ้นมากและสันขอบสูงขึ้นเล็กน้อย แต่เรียบบางลงกว่าแบบยื่นพับมุมสันเท้าเดิมที่โซ่อยู่ นอกจากนี้จะได้เข็อกที่แข็งแรงทนทานมากขึ้น สันขอบเข็อกที่หุ้มสันเท้าเรียบบางลงและสูงขึ้นจะมีผลให้พื้นที่ผิวสัมผัสระหว่างเข็อกกับผิวหนังที่เพิ่มมากขึ้นตามความสูงที่เพิ่ม แรงกดกระจายตัวสม่ำเสมอเนื่องจากสันขอบเข็อกเรียบบางลงสัมผัสกับผิวหนังเรียบสนิทมากกว่าเข็อกปูนแบบตัดเรียบเสมอขอบมุมสันเท้ามีความแข็งแรงลดลงบ้าง แต่สันขอบบางลง เรียบกว่าเดิมมาก ส่วนแบบตัดขอบมุมสันเท้าออกและแบบตัดขอบมุมสันเท้าพับไปด้านหลัง ทำให้ไม่มีสันขอบที่จะกดทับผิวหนังที่บางข้างสันเท้าของผู้ป่วย ความแข็งแรงของเข็อกปูนลดลงมาก แต่แข็งแรงเพียงพอต่อการใช้งานกับผู้ป่วยที่ปฏิบัติตามคำแนะนำหลังการใส่ short leg posterior slab ที่ไม่ลงน้ำหนักขาข้างที่ใส่เข็อกขณะเดินหรือผู้ป่วยที่มีน้ำหนักตัวน้อย

การวิจัยนี้มีการควบคุมคุณสมบัติของเข็อกในขั้นตอนการเตรียมเข็อก ชนิดของเข็อกที่ใช้ ขนาดเข็อก ขั้นตอนการทำเข็อก อุณหภูมิน้ำที่ใส่ทำเข็อก และอุณหภูมิห้อง¹⁴ เปลี่ยนน้ำทุกครั้งที่ใช้เข็อกเพื่อลดการสะสมของผลิตภัณฑ์พลาสติกในน้ำที่จะขัดขวางการซึมผ่านของน้ำเข้าทำปฏิกิริยากับผลิตภัณฑ์พลาสติกขณะจุ่มเข็อกเก็บเข็อกให้แห้งที่อุณหภูมิห้อง 3 วันเพื่อลดความชื้นในเข็อกปูนเนื่องจากคุณสมบัติของปูนถ้าดูดซึมน้ำไว้มาก พรุนมาก จะมีความแข็งแรงลดลง¹⁸

การใช้กรรไกรตัดเข็อกตั้งฉากกับสันขอบบริเวณส่วนพับงอทั้ง 2 ด้าน ซ้อนทับพับให้เรียบและลูปบันเข็อกให้เรียบเข้ารูปน่าจะสามารถนำไปใช้กับเข็อกปูนชนิดแผ่นเพื่อรักษาส่วนอื่น ๆ ของร่างกายผู้ป่วยอาทิ long arm slab ซึ่งน่าจะทำให้เข็อกปูนแข็งแรงทนทานต่อแรงกดข้างหักงอมากขึ้นและสันขอบเข็อกส่วนที่พับงอบริเวณข้อศอกมีขอบเรียบไม่เป็นสันหยักหนาที่อาจกดทับผิวหนัง ปุ่มกระดูกหรือเส้นประสาทบริเวณข้อศอกของผู้ป่วยหรือ ulnar gutter slab ก็สามารถตัดพับสันขอบเข็อกส่วนที่หักงอ

บริเวณ metacarpophalangeal joint และลูปบันเข็อกให้เรียบเข้ารูป สวยงามและแข็งแรงทนทานมากขึ้นได้ ซึ่งควรจะได้รับการศึกษาต่อไป

การใช้กรรไกรตัดสันขอบเข็อกออกในผู้ป่วยที่ต้องใช้ลวดปักยึดตรึงกระดูก มีลวดปักคาข้างสันเท้าหรือมีแผ่นผ้าตัดข้างสันเท้าเพื่อจะได้ดูแลแผล ทำความสะอาดแผลหรือลวดที่ปักคาได้สะดวก ไม่มีเข็อกกดทับ จากการวิจัยนี้พบว่าสามารถทำได้แต่ต้องคำนึงถึงความแข็งแรงของเข็อกที่ลดลงกว่าแบบเดิมมาก แต่แข็งแรงเพียงพอต่อการใช้งานกับผู้ป่วยที่ปฏิบัติตามคำแนะนำหลังการใส่ short leg posterior slab ที่ไม่ลงน้ำหนักขาข้างที่ใส่เข็อกขณะเดิน การวิจัยนี้ยังชี้ว่าไม่ควรทำการตัดขอบเข็อกบริเวณมุมสันเท้าพับไปด้านหลังเพราะจะทำให้เข็อกแข็งแรงลดลงมากกว่าการใช้กรรไกรตัดสันขอบเข็อกออก อธิบายตามหลักกลศาสตร์ที่ว่าแรงภายนอกกระทำต่อวัสดุเกิดแรงต้านภายในกระจายตลอดพื้นที่หน้าตัดของวัสดุ^{17,18} ซึ่งการตัดขอบเข็อกบริเวณมุมสันเท้าพับไปด้านหลังทำให้มีพื้นที่หน้าตัดที่มากกว่าในวัสดุชนิดเดียวกันก็จริงแต่เกิดจุดเปลี่ยนฉับพลันของพื้นที่หน้าตัดรูปตัว U เป็นตัว C กล่าวบริเวณสันขอบที่ตัดตั้งฉากและซ้อนทับทับกับแผ่นเข็อกได้สันเท้าทำให้เกิดจุดแตกหักที่ตำแหน่งจุดเปลี่ยนนี้¹⁷

ข้อจำกัดของการวิจัยนี้คือการทดสอบแรงกดที่กระทำในลักษณะแรงที่อยู่นิ่ง (static load) เพิ่มแรงกดด้วยอัตราคงที่เพื่อหาแรงสูงสุดที่ทำให้เข็อกปูนแตกหัก^{15,20} ยังไม่ได้ทดสอบวัสดุเข็อกในลักษณะแรงกระทำ^{15,20} (dynamic load) ที่เป็นแรงเคลื่อนที่มากกระทำให้เข็อกแตกหัก ซึ่งในการใช้เข็อกปูนรักษาผู้ป่วยจริงอาจเกิดแรงกระทำในลักษณะนี้ ถ้าผู้ป่วยเกร็งกล้ามเนื้อองถีบเท้าอย่างรวดเร็ว แต่ในข้อปฏิบัติหลังการใส่เข็อก ผู้ป่วยจะได้รับคำแนะนำให้ระมัดระวังและควบคุมการบริหารกล้ามเนื้อองอยู่แล้วและยังไม่ได้ทดสอบวัสดุเข็อกในลักษณะแรงที่กระทำซ้ำ^{15,20} (cyclic load) เป็นแรงขนาดน้อยกว่าแต่กระทำในลักษณะซ้ำ ๆ สะสมจนเข็อกปูนแตกหักได้ ซึ่งในการใช้เข็อกปูนรักษาผู้ป่วยจริง แรงกระทำต่อเข็อกปูนในลักษณะนี้พบน้อยมากคือผู้ป่วยต้องกดข้อเท้าหรือเท้าด้วยความถี่ที่มากอย่างสม่ำเสมอ

โดยสรุปเข็อกปูน short leg posterior slab แบบตัดพับมุมสันเท้าแข็งแรงทนทานต่อแรงกดข้างหักงอได้สูงที่สุด มากกว่าแบบยื่นพับมุมสันเท้า แบบตัดเรียบเสมอขอบมุมสันเท้า แบบตัดขอบมุมสันเท้าออก และแบบตัดขอบมุมสันเท้าพับไปด้านหลัง โดยมีความหนาของสันขอบเข็อกเรียบบางลง และความสูงของสันขอบเข็อกสูงขึ้นกว่าแบบยื่นพับมุมสันเท้าที่โซ่อยู่เดิม

อย่างไรก็ตามการศึกษานี้เป็นการศึกษาในห้องปฏิบัติการที่เปรียบเทียบความแข็งแรงของ short leg posterior slab ด้วยเครื่อง

ทดสอบ²¹ การศึกษาในผู้ป่วยจริงน่าจะช่วยยืนยันว่าเฟือกปูน short leg posterior slab แบบตัดพับมุมสันเท้าทนต่อการแตกหักได้มากที่สุด และการตัดแต่งขอบเฟือกที่หุ้มสันเท้าตามแนวคิดของผู้วิจัยจะช่วยให้ผู้ป่วยสบายขึ้น เจ็บสั้นแทนน้อยกว่า เกิดแผลกดทับน้อยกว่าจริงหรือไม่

กิตติกรรมประกาศ

โครงการวิจัยนี้ได้รับการสนับสนุนจากกองทุนส่งเสริมการวิจัยทางการแพทย์ คณะแพทยศาสตร์วชิรพยาบาล มหาวิทยาลัยกรุงเทพมหานคร ขอขอบคุณ นายอานวย เส็มไข นายถวัลย์ จรรย์นิตร์ กรมวิทยาศาสตร์บริการ กระทรวงวิทยาศาสตร์และเทคโนโลยีที่ได้ให้คำแนะนำและปรับตั้งเครื่องทดสอบความแข็งแรงของเฟือกในแนวคดหักอง 3 จุด ขอขอบคุณหัวหน้าภาควิชา ศัลยศาสตร์ออร์โธปิดิกส์ และคณบดีแพทยศาสตร์วชิรพยาบาล มหาวิทยาลัยกรุงเทพมหานครที่อนุญาตให้นำผลงานวิจัยนี้มาเสนอได้

เอกสารอ้างอิง

- Della GJ, Sangeorzan BJ. Navicular and midfoot injuries. In: DiGiovanni CW, Greisberg J, editors. Foot and ankle: core knowledge in orthopaedics. Philadelphia: Elsevier; 2007. p.297-309.
- Banerjee R, Nickisch F. Calcaneus fractures. In: DiGiovanni CW, Greisberg J, editors. Foot and ankle: core knowledge in orthopaedics. Philadelphia: Elsevier; 2007. p.267-82.
- Hall RL. Injuries of the posterior tibial tendon. In: Pfeffer GB, Frey CC, editors. Current practice in foot & ankle surgery. vol 2. San Francisco: Mc Graw-Hill; 1994. p.124-56.
- Jones DC. Posterior heel pain. In: Pfeffer GB, Frey CC, editors. Current practice in foot & ankle surgery. vol 2. San Francisco: Mc Graw-Hill; 1994. p.173-89.
- Pfeffer GB. Forefoot reconstruction for rheumatoid disease. In: Pfeffer GB, Easley ME, Frey CC, Hintermann B, Sands AK, editors. Operative techniques: foot and ankle surgery. Philadelphia: WB Saunders; 2010. p.87-99.
- Easley ME, Nunly II JA. Open reduction and internal fixation of proximal fifth metatarsal (Jones' or stress) fracture. In: Pfeffer GB, Easley ME, Frey CC, Hintermann B, Sands AK, editors. Operative techniques: foot and ankle surgery. Philadelphia: WB Saunders; 2010. p.277-86.
- Thordarson DB. Talus fracture: open reduction and internal fixation. In: Kitaoka HB, editor. The foot and ankle. 2nded. Philadelphia: Lippincott Williams & Wilkins; 2002. p.469-86.
- Kitaoka HB. Talocalcaneal (Subtalar) arthodesis. In: Kitaoka HB, editor. The foot and ankle. 2nded. Philadelphia: Lippincott Williams & Wilkins; 2002. p.387-99.
- Connolly JF. Nonoperative fracture treatment. In: Bucholz RW, Heckman JB, Court-Brown C, editors. Rockwood and Green's fractures in adults. 6thed. Philadelphia: Lippincott Williams & Wilkins; 2006. p.175-7.
- Thapanakulsak D. Comparison of force causing breakage of short leg posterior slabs done by edge-folded and edge-trimmed types. Vajira Med J 2009; 53: 267-71.
- Techakumput S. Plaster cast techniques. Bangkok: Charoenvit printing; 1985. p.1-35. (In Thai)
- Naovaratnaphas P. Orthopaedic procedure. Bangkok: PB Foreign Books Center; 1999. p.55-84. (In Thai)
- Chapman MW. Principles of closed treatment of fractures and dislocations. In: Chapman MW, Madison M, editors. Operative orthopedics. 2nded. Philadelphia: JB Lippincott Company; 1993. p.266-81.
- Tarajindawong S. The strength of materials. Bangkok: Pattana wichakarn; 2006. p.2-10, 29-44. (In Thai)

15. Devanichakul T. Mechanics of materials. Pathum Thani: Printing operations center. Rajamangala University of Technology Thanyaburi; 2009. p.1-46. (In Thai)
16. Wright TM, Li S. Biomaterials. In: Buckwalter JA, Einhorn TA, Simon SR, editors. Orthopaedic basic science. 2nded. Rosemont: American Academy of Orthopaedic Surgeons; 2000. p.182-215.
17. Kasipa C. The strength of materials. Bangkok: Chuanpim; 1979. p.200-48. (In Thai)
18. Karnjanavarong U. Material testing. Bangkok: Skybooks; 2002. p.7-19, 55-73, 140-67. (In Thai)
19. Hamill J, Knutzen KM. Biomechanical basis of human movement. 3rded. Philadelphia: Lippincott Williams & Wilkins; 2009. p.367-405, 411-55.
20. Watanasriyakul S. Material testing. Bangkok: Green World Media; 2006. p.1-8. (In Thai)
21. Tanaroengsakulthai S. System in tension and compression that is not in accordance with static equilibrium. In: Ratanapan S, editor. The strength of the materials (theory and sample problems). Bangkok: Mc Graw-Hill International Enterprise; 1997. p.41-66. (In Thai)